

Log-normal 分布杂波背景下有序统计恒虚警检测器性能分析

胡文琳^{①②} 王永良^② 王首勇^②

^①(国防科技大学电子科学与工程学院 长沙 410073)

^②(空军雷达学院武器系统与兵器运用实验室 武汉 430019)

摘要: 该文证明了在形状参数已知的均匀对数-正态(Log-normal)杂波背景下有序统计恒虚警(OS-CFAR)检测器能保持恒虚警的特性, 导出了该背景下 OS-CFAR 检测器对非起伏目标的检测性能表达式和平均判决阈值(ADT)表达式。最后用数值方法讨论了最佳序值的选取以及 OS-CFAR 检测器在取不同参考单元数时相对于理想 CFAR 的信杂比损失。

关键词: 雷达; Log-normal 分布杂波; OS-CFAR; CFAR 损失

中图分类号: TN957.51

文献标识码: A

文章编号: 1009-5896(2007)03-0517-04

Performance of Ordered Statistic CFAR Detector Under Log-normal Distributed Clutter

Hu Wen-lin^{①②} Wang Yong-liang^② Wang Shou-yong^②

^①(School of Electronic Science and Engineering, NUDT, Changsha 410073, China)

^②(Key Lab., Air Force Radar Academy Army, Wuhan 430019, China)

Abstract: The property that the ordered statistics CFAR(OS-CFAR) detector can obtain constant false alarm rate under homogeneous Log-normal distributed clutter background is proved in this paper, when the shape parameter of probability density function is known. Both the detection performance expressions with non-fluctuating target and the ADT (average decision threshold) expressions of the OS-CFAR detector are derived. Finally, the optimal order value and the signal-clutter-ratio losses compared with ideal CFAR of the OS-CFAR detector are discussed by numerical method when the number of reference cells is taken different values.

Key words: Radar; Log-normal distributed clutter; OS-CFAR; CFAR loss

1 引言

由于雷达常常工作在非平稳的杂波环境中, 雷达目标检测需采用CFAR技术。Log-normal分布常用来描述比瑞利(Rayleigh)和韦布尔(Weibull)分布拖尾性更加严重的杂波分布特性, 如复杂地形杂波和高分辨力雷达在低视角观察时的海杂波可以用log-normal分布较好地拟合^[1]。与单元平均CFAR(cell-averaging CFAR)检测器相比, OS-CFAR(Order Statistics CFAR)检测器在多目标环境下取得较好的检测性能, 其在均匀杂波背景下的CFAR损失也是可以接受的^[2]。然而, 与单参数概率密度分布(如瑞利分布)杂波相比, log-normal分布杂波背景下, 即使是简单的单脉冲检测, OS-CFAR的检测性能解析表达式也很难获得, 检测性能常常借助于Monte-Carlo仿真获得。本文在单脉冲线性检波条件下, 对非起伏目标的OS-CFAR检测性能进行了理论推导, 导出了检测性能表达式, 并用数值方法分析了OS-CFAR检测器最佳序值的选取和取不同参考单元数时的CFAR损失。

2 Log-normal 分布背景下 OS-CFAR 检测性能

2.1 恒虚警特性及其检测阈值

Log-normal 分布的概率密度函数为

$$f(x) = \frac{1}{x\sqrt{2\pi}\sigma} \exp\left[-\frac{(\ln x - \ln c)^2}{2\sigma^2}\right], \quad x \geq 0 \quad (1)$$

式中 $\ln c$ 和 σ 分别为 $\ln x$ 的均值和标准差。 $\ln c$ 表示log-normal分布的尺度参数, $\rho = e^{\sigma^2/2}$ 表示log-normal分布的形状参数。实际杂波数据的 ρ 的范围约为1.065($\sigma = 0.3549$)到1.93($\sigma = 1.1468$)。对海杂波, ρ 的范围约为从低海况条件下的0.5dB($\sigma = 0.4799$)到高海况条件下的5.5dB($\sigma = 1.5915$)^[3]。形状参数 ρ 越大表示杂波越尖锐、概率密度函数的“拖尾”现象越严重。

令 $w = \ln(x/c)/\sigma$, 并用 $\Phi(\cdot)$ 表示标准正态分布的概率分布函数(CDF), 则log-normal分布的CDF为

$$\begin{aligned} F_0(x) &= \frac{1}{2} + \frac{1}{2} \operatorname{erf}\left[\frac{\ln x - \ln c}{\sqrt{2}\sigma}\right] = \frac{1}{2} + \frac{1}{2} \operatorname{erf}\left[\frac{\ln(x/c)}{\sqrt{2}\sigma}\right] \\ &= \frac{1}{2} + \frac{1}{2} \operatorname{erf}\left[\frac{w}{\sqrt{2}}\right] = \Phi(w) \end{aligned} \quad (2)$$

OS-CFAR 将参考单元样本从小到大排序: $X_{(1)} \leq X_{(2)}$

2005-12-08 收到, 2006-09-18 改回

武器装备预研基金项目(51431040105JB4901)和全国高校优秀青年教师教学科研奖励计划(TRAPOYT)资助课题

$\leq \dots \leq X_{(R)}$ (R 为参考窗长度), 并取第 k 个最小有序统计量作为杂波水平估计, 即 $Z = X_{(k)}$ 。

随机变量 Z 具有下述的概率密度函数

$$f_k(z) = k \binom{R}{k} [1 - F_0(z)]^{R-k} [F_0(z)]^{k-1} f(z) \\ = k \binom{R}{k} \left\{ \frac{1}{2} - \frac{1}{2} \operatorname{erf} \left[\frac{\ln(z/c)}{\sqrt{2\sigma^2}} \right] \right\}^{R-k} \left\{ \frac{1}{2} + \frac{1}{2} \operatorname{erf} \left[\frac{\ln(z/c)}{\sqrt{2\sigma^2}} \right] \right\}^{k-1} \\ \times \frac{1}{z\sqrt{2\pi\sigma}} \exp \left[-\frac{(\ln z - \ln c)^2}{2\sigma^2} \right], \quad z \geq 0 \quad (3)$$

为了实现恒虚警处理, 对于一个指定的 P_{fa} , 必须计算检测阈值 S , 令 $S = TZ$, T 为阈值因子。令 $u = \ln(z/c)/\sigma$, 虚警概率 P_{fa} 可表示为^[4]

$$P_{fa} = E[P(Y_0 \geq Tz)] = \int_0^\infty [1 - F_0(Tz)] f_k(z) dz \\ = k \binom{R}{k} \int_{-\infty}^\infty \left\{ \frac{1}{2} - \frac{1}{2} \operatorname{erf} \left[\frac{\ln T}{\sqrt{2\sigma}} + \frac{u}{\sqrt{2}} \right] \right\}^{R-k} [1 - \Phi(u)]^{R-k} \\ \times [\Phi(u)]^{k-1} \left[\frac{1}{\sqrt{2\pi}} \exp \left(-\frac{u^2}{2} \right) \right] du \quad (4)$$

阈值因子 T 的确定与 log-normal 分布的尺度参数 c 无关, 由式(4)可知, 只要 P_{fa}, R, k, σ 已知, 即可利用数值积分方法解得。因此 OS-CFAR 可以在形状参数已知, 尺度参数未知或时变的 log-normal 分布杂波背景下的线性检测中保持恒定的虚警率。

2.2 检测性能分析

Log-normal 分布杂波加非起伏目标的分布称为对数-莱斯概率密度函数^[5], 其表达式为

$$f_{D_1}(x) = \frac{1}{2\pi} \int_0^{2\pi} \frac{1}{\sigma\sqrt{2\pi}} \frac{x}{(b^2 - 2bx \cos \varphi + x^2)} \\ \times \exp \left\{ -\frac{1}{2\sigma^2} \left[\ln \sqrt{b^2 - 2bx \cos \varphi + x^2} - \ln c \right]^2 \right\} d\varphi, \\ x > 0 \quad (5)$$

式中 D_1 为有目标假设时的检测统计量, b 为信号的功率参数。

检测概率 P_d 可表示为

$$P_d = \int_0^\infty \left[\int_S^\infty f_{D_1}(x) dx \right] f(s) ds = \int_0^\infty \left[\int_{Tz}^\infty f_{D_1}(x) dx \right] f_k(z) dz \quad (6)$$

式中阈值 S 是一个随机变量, $f(s)$ 为其概率密度函数。

将式(3), 式(5)代入式(6), 令 $\lambda = \frac{b^2}{\exp(2 \ln c + 2\sigma^2)}$,

$y = x/c$, 得

$$P_d = \int_{-\infty}^\infty \int_{T \exp(uz)} \frac{1}{2\pi} \int_0^{2\pi} \frac{1}{\sigma\sqrt{2\pi}} \\ \times \frac{y}{(\exp(2\sigma^2)\lambda - 2 \exp(\sigma^2)\sqrt{\lambda}y \cos \varphi + y^2)} \\ \times \exp \left\{ -\frac{1}{2\sigma^2} \left[\ln \sqrt{\exp(2\sigma^2)\lambda - 2 \exp(\sigma^2)\sqrt{\lambda}y \cos \varphi + y^2} \right]^2 \right\} d\varphi dy \\ \times k \binom{R}{k} [1 - \Phi(u)]^{R-k} [\Phi(u)]^{k-1} \left[\frac{1}{\sqrt{2\pi}} \exp \left(-\frac{u^2}{2} \right) \right] du \quad (7)$$

由式(7)可见, P_d 是检波前信杂比 λ, T, σ, R, k 的函数, 用数值积分的方法可以得到由上式确定的检测概率曲线。

图 1(a), 1(b) 分别为 $R=16, 36$, P_d 达到 80% 时采用不同序值 k 与所需的信杂比 λ 对应的关系曲线, $P_{fa} = 10^{-3}$, σ 取 0.5, 0.8, 1.2 (表示杂波尖锐程度由弱到强)。由图可见, 当 $R=16$ 时, 3 种形状参数下 CFAR 检测器达到指定的检测概率所需的信杂比最小的序值均为 $k=9$, 而 $R=36$ 时最小信杂比对应的 $k=20$ 。两种情况下不同序值 k 相对于 $k=9, 20$ 时的附加损失分别见表 1, 表 2。由表 1, 表 2 可以看出 $k=1$ 时的附加损失最大, 在尖杂波 ($\sigma = 1.2$) 情况下, 损失达 6dB 以上。当标准差 σ 一定时, k 偏离 9, 20 越大, 信杂比附加损失越大; 当 k 一定时, 损失随着 σ 的增大而增大。

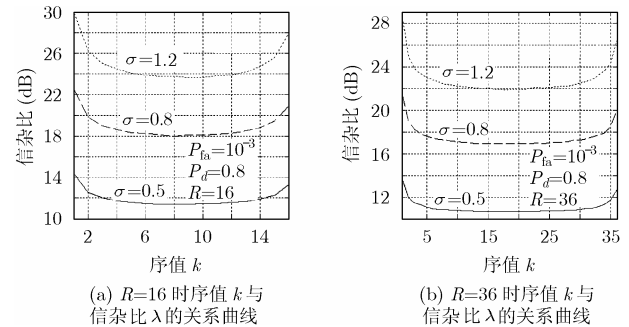


图 1

表 1 $R=16$ 时 OS-CFAR 检测器取不同序值 k 相对于 $k=9$ 的 CFAR 损失

标准差 σ	序值 k												
	1	3	5	7	8	9	10	11	12	13	14	15	16
0.5	2.84	0.55	0.18	0.02	0.02	0	0.06	0.07	0.15	0.21	0.48	0.79	1.89
0.8	4.39	0.95	0.37	0.11	0.10	0	0.07	0.17	0.21	0.50	0.79	1.42	2.87
1.2	6.21	1.35	0.45	0.12	0.11	0	0.04	0.20	0.25	0.57	1.06	1.94	4.27

表 2 $R=36$ 时 OS-CFAR 检测器取不同序值 k 相对于 $k=20$ 的 CFAR 损失

标准差 σ	序值 k												
	1	3	5	7	13	15	19	20	25	27	31	35	36
0.5	2.92	0.81	0.40	0.20	0.04	0.02	0.01	0	0.02	0.08	0.28	1.08	2.02
0.8	4.39	1.34	0.70	0.43	0.07	0.02	0.01	0	0.06	0.14	0.48	1.62	3.09
1.2	6.53	1.92	1.08	0.69	0.15	0.16	0.02	0	0.16	0.26	0.78	2.45	4.62

2.3 平均判决阈值(ADT)

为了进一步分析 OS-CFAR 处理器性能, 本文分析了不同 k 值时的平均判决阈值(ADT), ADT 定义为

$$ADT = TE(z_k) / c \tag{8}$$

式中 c 为尺度参数, T 为阈值因子, $E(z)$ 为第 k 个最小有序统计量的均值。

将式(3)及 $u = \ln(z/c)/\sigma$ 代入式(8), 得

$$ADT = k \binom{R}{k} \int_{-\infty}^{\infty} [1 - \Phi(u)]^{R-k} [\Phi(u)]^{k-1} \cdot \left[\frac{1}{\sqrt{2\pi}} \exp\left(-\frac{u^2}{2}\right) \right] \exp(u\sigma + \ln T) du \tag{9}$$

式(9)表明 ADT 是 R, k, σ 和 P_{fa} 的函数, 与尺度参数 c 无关。ADT 是计算检测性能损失的一个重要度量, 对于指定的参考单元数 R 和虚警概率 P_{fa} , ADT 不依赖于检测概率 P_d 。ADT 越小, 表示检测性能越好, 即检测概率越高。根据式(9)用数值方法可以得到 OS-CFAR 平均判决阈值 ADT 与 R, k, σ 的关系。

图 2(a), 2(b)分别为 $R=16, R=36$ 时, OS-CFAR 检测器 ADT 值随序值 k 的变化曲线, $P_{fa}=10^{-3}$, σ 分别取 0.5, 0.8, 1.2。由图 2 可见, $R=16, 36$ 时, k 分别取 9, 20 时 ADT 达到最小值, 此时 CFAR 处理器性能最佳, 即当虚警概率一定, 输入信杂比相同时, OS-CFAR 处理器检测概率最高。这说明 ADT 最小对应的 k 值和达到指定检测概率所需的信杂比最小对应的序值 k 是一致的。

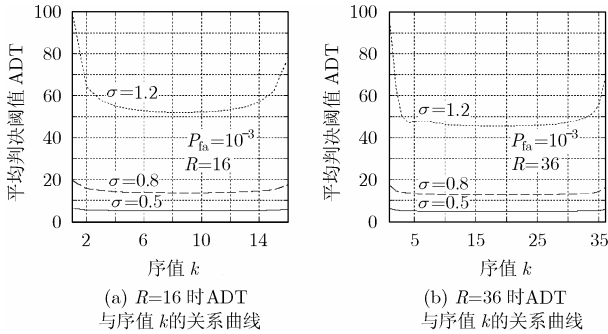


图 2

本文把 OS-CFAR 检测器 ADT 最小的 k 值称为最佳序值, 用 $k\text{-opt}$ 表示, 由上节分析可知, 当 $k=k\text{-opt}$ 时, OS-CFAR 检测器在保持虚警率恒定的情况下, 达到指定检测概率所需的信杂比最小。

2.4 最佳序值 $k\text{-opt}$ 的选取

为了得到均匀 log-normal 杂波背景下 OS-CFAR 检测器最佳序值 $k\text{-opt}$ 的取值范围, 本文在 3 组标准差 $\sigma = 0.5, 0.8, 1.2$ 下, 分别求取当 R 在 [8, 50] 的整数间连续变化时与 R 对应的最佳序值 $k\text{-out}$ ($P_{fa}=10^{-3}$)。

图 3 为形状参数取 3 个不同值时, 最佳序值 $k\text{-opt}$ 和参考单元数 R 的比值随 R 的变化曲线。由图可见, $k\text{-opt}/R$ 的值基本上都在 0.5 到 0.6 之间, 最大不超过 0.7, 最小不低于

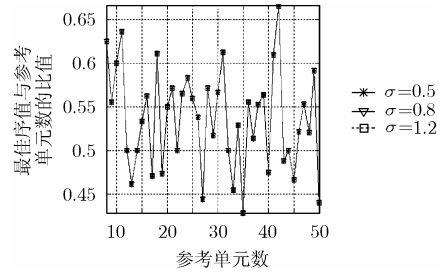


图 3 OS-CFAR 最佳序值 k 和参考单元数的比值

0.4, 3 条曲线重合, 说明杂波形状参数对 $k\text{-opt}$ 的选择没有影响。

在实际杂波环境的快门限 CFAR 处理中, 考虑到杂波的非平稳性和干扰目标等的影响, 参考单元数一般不会大于 50, 因此可用上述 3 组形状参数下 $k\text{-opt}/R$ 的平均值来得到最优序值的取值范围。本实验中, $k\text{-opt}/R$ 的平均值为 0.54。即最佳序值应取稍大于 $R/2$ 的整数

$$k\text{-opt} = [0.54 \times R] \tag{10}$$

式中 $[\]$ 表示取整运算。

在雷达的实际工作环境中, 考虑 OS-CFAR 检测器在杂波边缘和多目标等非均匀杂波背景下工作性能的折衷, 一般取 $k\text{-out} = 3R/4^{[2]}$ 。

3 恒虚警性能及检测损失分析

图 4 为 $R=16, \sigma=0.8, k=9, P_{fa}=10^{-3}$, c 分别取 0.5, 1, 3 时 OS-CFAR 的检测性能的 Monte-Carlo 仿真曲线。3 种情况对应的虚警概率分别为 0.0013, 0.0014, 0.0011。由图 4 可见, 当形状参数、虚警概率、参考单元数和序值均固定而尺度参数变化时, 虚警概率保持恒定不变, 检测概率也不随尺度参数的改变而改变, 这与本文式(4), 式(7)结论一致。

定义在相同虚警概率条件下, 达到指定发现概率时 OS-CFAR 检测器 ($k=k\text{-opt}$) 所需的信杂比与理想 CFAR 检测器所需的信杂比之差为 OS-CFAR 检测器的信杂比损失。图 5 为 OS-CFAR 检测器序值 k 取最佳值时, 其相对于理想 CFAR 的信杂比损失随 R 的变化曲线。由图可见, 当形状参数相同时, CFAR 损失随着参考单元数 R 的增加而减小, 当 R 趋近于 ∞ 时 CFAR 损失趋近于 0; 当参考单元数相同时, CFAR 损失随着形状参数的增大而增大, 尤其对尖杂波, 参考单元数较小时 ($R=8$) 损失可达 6dB 以上 ($P_{fa}=10^{-3}$)。

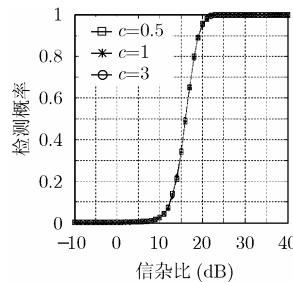


图 4 尺度参数 c 分别为 0.5, 1, 3 时 OS-CFAR 的检测性能曲线 ($R=16, \sigma=0.8, k=9, P_{fa}=10^{-3}$)

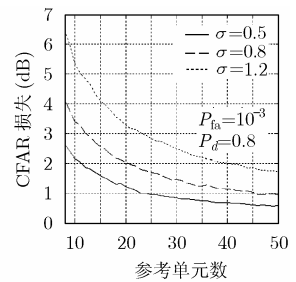


图 5 σ 分别取 0.5, 0.8, 1.2 时 OS-CFAR 信杂比损失随参考单元数的变化曲线 ($P_{fa}=0.8$)

4 结束语

本文证明了在形状参数已知的均匀 log-normal 杂波背景下 OS-CFAR 检测器具有恒虚警的特性, 导出了单脉冲线性检波 OS-CFAR 检测器的平均判决阈值和检测性能表达式。数值计算结果表明, 当形状参数、虚警概率、参考单元数和序值一定, 尺度参数变化时, OS-CFAR 检测器能保持恒定的虚警率, 且检测概率不随尺度参数的改变而改变; 当虚警概率, 参考单元数和形状参数一定时, 达到指定的检测概率时所要求的最小信杂比对应的最佳序值 $k\text{-opt}$ 为稍大于 $R/2$ 的整数值, 形状参数对 $k\text{-opt}$ 的选取没有影响。序值 k 偏离最佳值 $k\text{-opt}$ 越大, 附加信杂比损失就越大。当序值取最佳值且形状参数一定时, OS-CFAR 检测器相对于理想 CFAR 的信杂比损失随着参考单元数的增加而减小; 而参考单元数一定时, CFAR 损失随着形状参数的增加而增大。

参 考 文 献

- [1] Chan H C. Radar sea-clutter at low grazing angles. *IEE Proc. -F*, 1990, 137(2): 102-112.
- [2] Rohling H. Radar CFAR thresholding in clutter and multiple target situation. *IEEE Trans. on AES*, 1983, 19(4): 608-621.
- [3] Schleher D C. Radar detection in Log-normal clutter[C]. Proc. of the IEEE International Radar Conference. Washintong, 1975: 262-267.
- [4] AL-Hussaini E K. Performance of an ordered statistic CFAR processor in Log-normal clutter[J]. *Electronics Letters*, 1988, 24(7): 424-425.
- [5] 何友, 关键, 等. 雷达自动检测与恒虚警处理[M]. 北京: 清华大学出版社, 1999: 142-143.
He You and Guan Jian, *et al.*. Automatic radar detection and CFAR processing[M]. Beijing: Tsinghua University Press, 1999:142-143.
- 胡文琳: 男, 1976 年生, 博士生, 研究方向为雷达信号检测与恒虚警处理。
- 王永良: 男, 1965 年生, 教授, 博士生导师, 主要研究领域为: 雷达技术、阵列信号处理、自适应信号处理等。
- 王首勇: 男, 1956 年生, 博士, 教授, 主要研究方向为雷达信号处理、现代信号处理。